

ОБ ИЗМЕНЕНИИ РАВНОВЕСНОЙ ФОРМЫ ДИСЛОКАЦИОННОГО СЕГМЕНТА В БЛИЗИ ТОЧЕК ФАЗОВЫХ ПЕРЕХОДОВ ПЕРВОГО РОДА

А. Л. Корженевский, Д. А. Лисаченко

Известно, что упругодеформированные области кристалла вблизи дислокационных линий являются преимущественными местами процесса зародышеобразования при фазовом переходе (ФП) [1]. Исследование особенностей процесса ФП 2-го рода, учитывающее наличие «шуб» другой фазы в окрестности дислокаций, проводилось в ряде работ [2-5]. Термодинамические свойства кристалла, испытывающего ФП, анализировались при этом в предположении о независимости структуры дислокационного ансамбля от температуры. В работе [6] было показано, что в отличие от случая ФП 2-го рода одевание дислокаций «шубами» при ФП 1-го рода приводит к резкой температурной зависимости величины их линейного натяжения $\Phi(T)$. Была получена оценка значения температуры T_c , при которой $\Phi(T_c) \approx 0$. Это обстоятельство указывает на возможную неустойчивость дислокационного ансамбля вблизи точек ФП 1-го рода, поскольку температурная добавка к энергии линейного натяжения зависит от структуры дислокационного ансамбля, параметры которого могут изменяться в процессе ФП. В настоящем сообщении мы выясним характер этой неустойчивости на примере отрезка дислокации с закрепленными концами, проанализировав зависимость его равновесной формы от температуры вблизи точки ФП 1-го рода.

Плотность свободной энергии дислокационного кристалла, испытывающего ФП 1-го рода, близкий ко второму, можно записать в виде [6]

$$F = \frac{1}{2} \alpha (T - T_0) Q^2 + \frac{1}{4} B Q^4 + \frac{1}{6} D Q^6 + \frac{1}{2} \varepsilon (\nabla Q)^2 + q Q^2 \varepsilon_{II} + \\ + (\sigma_{ik}^0 - \sigma_{ik}^{int}(r)) \varepsilon_{ik} + \mu \left(\varepsilon_{ik} - \frac{1}{3} \varepsilon_{II} \delta_{ik} \right)^2 + \frac{K}{2} \varepsilon_{II}^2, \quad (1)$$

где $B < 0$, $D > 0$, σ_{ik}^0 — тензор напряжений внешней нагрузки, $\sigma_{ik}^{int}(r)$ — тензор внутренних напряжений в точке r кристалла, обусловленных наличием дислокаций; ε_{ik} — тензор упругих деформаций; q — коэффициент стрикционной связи. Параметр порядка Q для простоты взят однокомпонентным, и мы ограничились приближением упругоизотропной среды.

Рассчитаем равновесную конфигурацию дислокационного сегмента, лежащего в плоскости скольжения (x, y), закрепленного на концах в точках $x = \pm a$, $y = 0$, в окрестности температуры ФП. Пусть вдали от точки ФП в отсутствие внешней нагрузки сегмент представляет собой прямолинейный отрезок винтовой дислокации с вектором Бюргерса $b \parallel OX$. В приближении линейного натяжения энергия сегмента равна

$$\Phi = \int_{-a}^a \frac{\mu b^2}{4\pi} (1 + y'^2)^{-1/2} \left(1 + \frac{1-f^*}{1-\nu} y'^2 \right) dx - \int_{-a}^a b \sigma_{xx}^0 y dx. \quad (2)$$

В (2) ν — коэффициент Пуассона, σ_{xx}^0 — компонента однородного внешнего сдвигового напряжения, приложенного в плоскости скольжения дислокации (x, y). Безразмерный параметр f^* отражает температурную зависимость величины линейного натяжения краевой компоненты дислокации [6]. Эта компонента возникает при изгибе дислокации и одевается

«шубой» новой фазы в силу наличия струкционной связи параметра порядка с деформацией всестороннего сжатия в (1)

$$f^*(T) = \frac{4\pi q^2 Q_*^2}{\alpha(T - T^*) \mu \ln(2a/b)}, \quad (3)$$

где Q_* — скачок параметра порядка на межфазной границе, $T^* = T_0 + \frac{13}{16} \left(B - \frac{2q^2}{K + \frac{4}{3}\mu} \right)$ — температура возникновения зародыша новой фазы в идеальном кристалле. Равновесная конфигурация сегмента соответствует минимуму функционала (2) и определяется решением уравнения Эйлера

$$y''(1+y'^2)^{-1/2} \left(1 + f \frac{y'^2 - 2}{1+y'^2} \right) - \tau = 0, \quad (4)$$

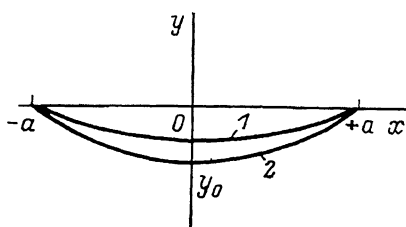


Рис. 1. Изменение равновесной формы дислокационного сегмента при приближении к точке ФП; $\tilde{T} < T_2 < T_1$.

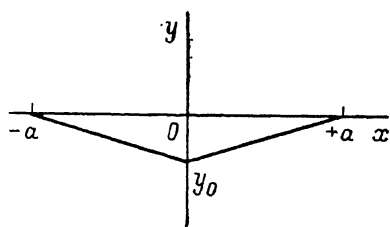


Рис. 2. Нестабильность прямолинейной формы дислокационного сегмента при $f = 1/2$.

где $\tau = (4\pi\sigma_{xz}^0/\mu b)$, а безразмерный параметр f выбран так, чтобы значение $f=0$ отвечало температурам, далеким от точки ФП, а $f=1$ — обращению в нуль линейного напряжения краевой компоненты,

$$f = \frac{f^* - \tau}{1 - \tau}. \quad (5)$$

Решение уравнения (4) с учетом граничных условий $y(x=\pm a)=0$ удобно записать в параметрической форме

$$\left. \begin{aligned} x(u) &= \frac{u}{\tau(1+u^2)^{1/2}} (1 - f - f(1-u^2)^{-1}), \\ y(u) &= \frac{-1}{\tau(1+u^2)^{1/2}} (1 + fu^2(1+u^2)^{-1}) + C_1, \end{aligned} \right\} \quad (6)$$

где $u=y'=dy/dx$, а C_1 — константа, определяемая граничными условиями.

В области температур, сравнительно далеких от точки ФП, параметр $0 < f \ll 1$, и наличие «шубы» новой фазы приводит к малому изменению равновесной формы сегмента (рис. 1). Ситуация, однако, качественно изменяется при температурах, близких к точке ФП, когда значение параметра перенормировки линейного напряжения f перестает быть малым.

Действительно, при малых прогибах сегмента, когда $u \ll 1$, решение уравнения (6) имеет вид

$$y(x) = \frac{\tau(x^2 - a^2)}{2(1-2f)}, \quad (7)$$

что и указывает на существование критического $f=1/2$. Убедимся, что рост стрелы прогиба $y_0=y(0)$ в (7) при приближении к критическому значению температуры \tilde{T} , определенному равенством $f(\tilde{T})=1/2$, в самом деле

соответствует неустойчивости конфигурации сегмента. Уравнение (6) при нулевой внешней нагрузке имеет первый интеграл

$$u [1 - 2f + u^2 (1 - f)] (1 + u^2)^{-\frac{3}{2}} = C_2, \quad (8)$$

где константа C_2 не зависит от параметра f . При $f=0$ сегмент прямолинеен, поэтому $u=0$ и $C_2=0$. При $f < 1/2$ уравнение (8) имеет единственное решение $u=0$. Однако при $f \geq 1/2$ появляются новые нетривиальные решения

$$u = \pm [(2f - 1)/(1 - f)]^{1/2}. \quad (9)$$

Если мы теперь приложим в точке $x=0$ сколь угодно малую сосредоточенную силу $\Delta\sigma(x)=\Delta\sigma_0\delta(x)$, $\Delta\sigma_0=(\mu b^2/\pi\sqrt{2}) (f-1/2)^{1/2}$, то при $f \geq 1/2$ сегмент примет форму ломаной линии (рис. 2).

Нестабильность прямолинейной формы дислокационного винтового сегмента при $f \geq 1/2$ можно установить также, воспользовавшись формулой де Вита и Келера для величины эффективного линейного напряжения дислокации \tilde{W} [7],

$$\tilde{W} = \left[W(u) + \frac{\partial^2 W}{\partial u^2} \right] \Big|_{u=0}, \quad (10)$$

где $W(u)$ — энергия единицы длины дислокации. Условие нестабильности дислокационной линии в направлении $u=0$ соответствует $\tilde{W} < 0$. Используя (2), получаем

$$\left[\left(\frac{\partial^2 W}{\partial u^2} \right) / W \right] \Big|_{u=0} = 2 \left(\frac{1-f^*}{1-\nu} - 1 \right) \leq -1, \quad (11)$$

откуда с учетом (5) и следует, что $\tilde{W} \rightarrow 0$ при $f \rightarrow 1/2$. Энергия сегмента с изломом Φ меньше энергии Φ_0 прямолинейного сегмента при $f \geq 1/2$. Подставив решения (9) в (2), убеждаемся, что это действительно так,

$$\Phi_0/\Phi = 2[f(1-f)]^{1/2} > 1. \quad (12)$$

Таким образом, на простом примере мы показали, что при приближении к точке ФП 1-го рода дислокационная структура кристалла может утратить свою устойчивость. Величина температурного интервала, в котором структура дислокационного ансамбля становится неустойчивой, равна

$$\Delta T_o \approx 2\pi q^2 Q_w^2 / [a_w \ln(2a/b)]. \quad (13)$$

При численных значениях параметров в (13), характерных для ФП типа порядок-беспорядок и типа смещения, получим $\Delta T_o \sim (0.1 \div 10)$ К и $\Delta T \sim (1 \div 10^2)$ К соответственно [6].

Л и т е р а т у р а

- [1] Кристиан Дж. Теория превращений в металлах и сплавах. М.: Мир, 1978. 806 с.
- [2] Набутовский В. М., Шапиро Б. Я. ЖЭТФ, 1978, т. 75, № 3, с. 948—959.
- [3] Дубровский И. М., Кривоглаз М. А. ЖЭТФ, 1979, т. 77, № 3, с. 1017—1031.
- [4] Дубровский И. М., Кривоглаз М. А. ЖЭТФ, 1986, т. 90, № 4, с. 1466—1477.
- [5] Кишинец Ю. М., Леванюк А. П., Морозов А. И., Сигов А. С. ФТТ, 1987, т. 29, № 2, с. 604—606.
- [6] Корженевский А. Л. ФТТ, 1986, т. 28, № 5, с. 1324—1331.
- [7] Фридель Ж. Дислокации. М.: Мир, 1967. 643 с.

Ленинградский электротехнический
институт имени В. И. Ульянова (Ленина)
Ленинград

Поступило в Редакцию
6 октября 1987 г.